

136537

哈尔滨工业大学

金屬工藝學

(切削加工部份)

适用：机器制造系，机械工艺系，动力机械系，电机系

下册

張學仁編

对

1958年6月

76/080

前 言

本講义系根据我校具体情况并参考苏联莫洛托夫动力学院 1955 年电机制造專業的教学大綱編寫而成。分上下兩冊出版。上冊內容为冶炼、金属学、鑄造生產、压力加工和鉗接等五部分；下冊是金属切削加工部分。

上冊由金属工学教研室范广信，罗繼文、紀雨烈、王恒富、宋安仁五同志編寫；下冊由張學仁同志編寫。

本講义可作为电机类各專業學習“金属工藝学”課程时的主要参考教材，同时也可供非机械类其它專業参考。

本講义的講授时數約72～90學時。（學時分配大致如下，冶炼 8 學時，金属学 16 學時，鑄造、压力加工及鉗接各 12 學時，金属切削加工 30 學時）。

由于編者水平有限，錯誤与缺点在所难免，希望讀者指正，以便修改。

編 者

目 录

第六編 金屬切削加工

第一章 金屬切削加工的基本知識

§ 1 机械加工的主要方式和切削过程的要素.....	1
§ 2 刀具的几何形状及制造刀具所用的材料.....	2
§ 3 切屑的形成过程，切屑的种类及切削程中伴生的物理現象.....	6
§ 4 切削力.....	9
§ 5 切削热，刀具磨损及刀具耐用度.....	10
§ 6 切削速度.....	12
§ 7 提高生產率的途徑.....	14

第二章 机床的基本知識

§ 1 机床的分类及編号.....	16
§ 2 机床的驅動及傳动.....	20

第三章 車削加工

§ 1 車床.....	25
§ 2 車床上可做的工作及其所用的夾具和刀具.....	27
§ 3 車床类其它机床.....	32

第四章 鑽削加工

§ 1 麻花鑽头，擴孔鑽及鉸刀的構造.....	35
§ 2 鑽孔的切削用量.....	37
§ 3 鑽床及其工作.....	38

第五章 銑削加工

§ 1 銑削原理.....	42
§ 2 銑床.....	46
§ 3 銑床上可做的工作.....	50

第六章 鉋、插及拉削加工

§ 1 鉋削加工.....	54
§ 2 插床及其工作.....	57
§ 3 拉削加工.....	57

第七章 磨削加工

§ 1 磨削原理.....	60
§ 2 磨床及其工作.....	63

第八章 齒輪加工，電火花加工及陽極機械加工

§ 1 齒輪加工的概念	67
§ 2 电火花加工	69
§ 3 陽極機械加工	71

第六編 金屬切削加工

第一章 金屬切削加工的基本知識

凡是使用切削刀具从毛胚上切下金属層，以獲得在形狀，尺寸精確度和表面光潔度上均合乎另件圖紙要求的加工方法叫做金屬切削加工（以後簡稱切削加工）。用手工工具來切去金属層的方法叫做鉗工，在金屬切削機床上切去金属層的方法叫做機械加工。鉗工，体力劳动比較重，而機械加工可以大大的減輕体力劳动，因此應該尽量用機械加工來代替鉗工，但在裝配和修理机器时仍不得不用鉗工，为了改善工人劳动条件今日的鉗工已逐步向機械化的方向發展。

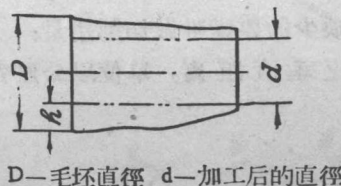


圖 1 加工裕量 $h = \frac{D-d}{2}$

在切削加工過程中被切下金属層的总厚度叫作機械加工裕量如圖 1 示（以後簡稱加工裕量）。加工裕量的大小与毛胚制造的精度有直接的关系，據統計在大量生產中有 5%~15%（按重量計）毛胚上的金属要被切下變成切屑，在小批和單件生產中由于毛胚制造的精度低，裕量增大，使變成切屑的金属达毛胚原始重量 25%。加工裕量太大使金属、电力及時間造成浪費而增加了制造成本，因此設法提高毛胚制造（鍛造，冲压及鑄造）的精度和表面質量是降低切削加工成本的重要途徑。

現代的机器和仪器要求較高的精密度，也就是对零件的形狀，尺寸精確度和表面光潔度提出更高的要求，这些要求只有用切削加工的方法最易保証，因此切削加工在机器制造業中所占的比重是非常大的，據估計在中型机器制造業中切削加工成本占成品成本的 50~60%。

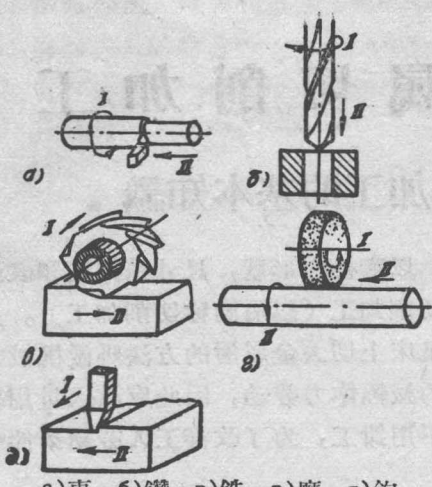
§ 1 机械加工主要方式和切削過程的要素

机械加工的主要方式有車、鉆、銑、鉋及磨等，它們在進行加工時都靠兩類運動的配合來實現切削工作，如圖 2 示，I 是主運動，它是切削的基本運動，消耗主要動力；II 是輔助運動，它是使新的金属不斷投入切削的運動。由圖中可以看出主運動或輔助運動可以分別由工件和刀具來完成，或都由刀具來完成，如鉆削。

加工方式不同，所用的刀具，机床及切削時的運動形式也都不同，但是仔細分析則可看出它們在本質上還存在着很多共同之點，車削加工是在各種加工形式中最基本和最有代表性的一種，故本章以後的內容多以車削為出發點來認識它們共同的規律。

切削過程所研究的對象應包括：被加工零件，切削刀具，它們之間的相對運動，實現這種運動所必需的机床以及由這種運動實現結果所引起的工件、刀具、夾具和机床的變化。以後將分別敘述。為了以後學習方便，下面先解釋一些名詞。

被加工零件上的表面：如圖 3 示，1 为待加工表面——工件上即將切去切屑的表



a) 車、b) 鑽、c) 鋸、d) 磨、e) 鉋

圖 2 机械加工的主要方式

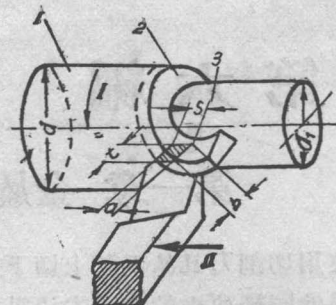


圖 3 車削外圓

面；2 为加工表面——工件上主切削刃正在切削着的表面；3 为已加工表面——工件上已切去切屑的表面。

要完成切削工作必需具有下列三个不可缺少的要素叫做切削用量：

1. 切削深度 t —— 工件已加工表面和待加工表面間之垂直距离，單位以公厘表示。

当縱向車削时（圖 3），按下式計算：

$$t = \frac{d - d_1}{2} \text{ 公厘}$$

式中：d —— 切去切屑前工件之直徑（公厘）；

d_1 —— 切去切削后工件之直徑（即已加工表面的直徑）（公厘）。

2. 走刀量 S —— 工件每轉一轉時刀具與工件在走刀方向相對移動之距離，單位為公厘/轉。

3. 切削速度 V —— 工件和刀具沿主運動方向之相對速度（以待加工表面上的相對速度表示之）。实际上它就是工种上待加工表面外圓的切線速度（圖 3），可按下式計算：

$$V = \frac{\pi d n}{1000} \text{ 公尺/分}$$

式中：d —— 加工前工件的直徑（公厘）；

n —— 工件每分鐘的轉數（轉/分）。

切削面積可由下式計算：

$$f = t \cdot S = a \cdot b \text{ 公厘}^2 \text{ (圖3)}$$

式中：a —— 在刀具移動 S 公厘前後兩個加工表面間之垂直距離（公厘），叫切削厚度；

b —— 在工件待加工表面和已加工表面間沿主切削刃的距離（公厘），叫切削寬度。

§ 2 刀具的幾何形狀及製造刀具所用的材料

凡用來切下切屑的工具叫刀具。刀具的種類甚多，依加工方法不同而異，但外圓車刀是最有代表性的，下面以外圓車刀為例來進行研討。

1. 刀具的幾何形狀：

外圓車刀由刀頭和刀桿兩部分構成（圖4a）。刀桿 II 是把刀具夾持在刀架上用的，刀頭 I 直接擔負了切削工作。因此，刀頭部分的材料及幾何形狀直接影響着工件的表面質量（冷硬層和表面光潔度），機床動力的消耗和勞動生產率的提高等。故有必要對它們進行進一步的研討，為了便於研討首先應確定一些基本定義。

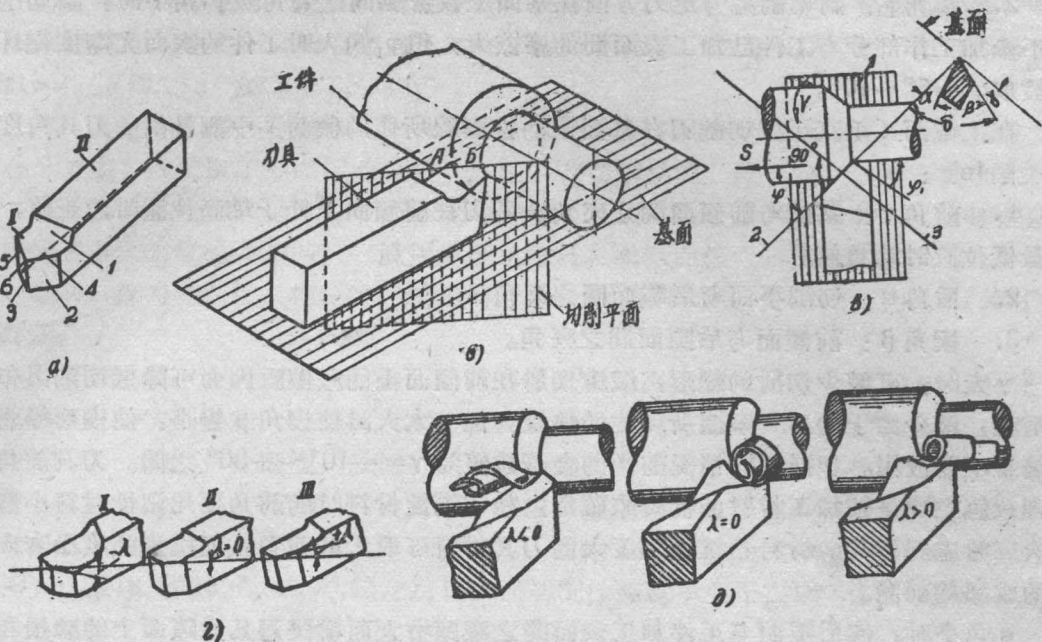


圖 4 車刀的幾何形狀

刀頭上的三個面：（參看圖4a）。

1. 前傾面：切屑沿着它流出去的表面（表面 1）。
2. 主後隙面：和工件加工表面對着的表面（表面 2）。
3. 副後隙面：和工件已加工表面對着的表面（表面 3）。

二個刃：

1. 主切削刃：前傾面與主後隙面之交線，它完成主要的切削工作（刃 4）。
2. 副切削刃：前傾面與副後隙面之交線，它也起切削作用（刃 5）。

兩個切削刃之交點叫做刀尖（交點 6）。

兩個座標平面：

1. 切削平面：（圖66）包含主切削刃上的一點而又切于加工表面之平面，即為該點之切削平面。
2. 基面：（圖46）通過主切削刃上某一點而又垂直于主運動方向的平面，即為該點之基面。它與切削平面垂直。圖中與此面平行的面也叫基面。

下面研討構成刀具幾何形狀的各角度，為了便於進行比較，刀具上的各角度只能在規定的平面中去度量。下面就從規定的平面中研討各角度：

在基面投影上測量出的刀具角度如下：（圖4b）。

1. 導角 φ ：主切削刃與走刀方向在基面上投影線間之夾角。 φ 角小時（在不改變

(t 和 S 之情況下) 切削寬度 b 增大，使主切削刃參加工作的長度增加，因此切削時所生的熱量比較容易散出，對刀具工作的條件有好處，但是由於參加切削工作刀刃的增長而使摩擦所生的切削力相應增加。另外 φ 角還可以用來調整切削力的分布。一般常用的 $\varphi=30^\circ \sim 75^\circ$ 之間，常用者為 45° 。

2. 离角 φ_1 : 副切削刃與走刀方向在基面上投影線間之夾角。 φ_1 角小時，副切削刃上不參加工作部分與工件已加工表面間的摩擦大，但 φ_1 角大時工件的表面光潔度變壞。一般取 $\varphi_1=5^\circ \sim 10^\circ$ 。

在主截面（垂直於主切削刃在基面上的投影線所作的截面）中測量出的刀具角度如下（圖4B）：

1. 前角 γ : 基面與前傾面間之夾角。刀刃在前傾面上處於最高位置時為正值；處於最低位置時為負值。

2. 後角 α : 切削平面與後隙面間之夾角。

3. 楔角 β : 前傾面與後隙面間之夾角。

γ 大時，可減少切屑的變形，減少切屑在前傾面上的摩擦，因而可降低切削力和動力消耗，減少由於變形和摩擦所產生的熱量。但 γ 太大時使楔角 β 變小，使楔形變弱，且熱量不易散出。根據不同情況前角的合理數值為 $\gamma=-10^\circ \sim +30^\circ$ 之間。刀具前角的合理數值主要是按加工材料的性質來確定，如切脆性材料時的前角要比塑性材料小些，其次應考慮到刀具的材料，抗張強度大的刀具材料可取大的前角，而抗張強度小者應取小的或負的前角。

α 角小時，使後隙面與工件加工表面間之摩擦增大而增快刀具後隙面上的磨損和使工件表面質量變壞， α 角大時上述壞影響可以減少，且刀刃的圓角半徑 ρ^* 變小，而使得在切削厚度很小時也能順利地切下切屑，但 α 太大時 β 變小也不好，一般 $\alpha=4^\circ \sim 12^\circ$ ，精加工時切削厚度 a 較小故 α 宜取大些以使 ρ 小易切下切屑。

因 $\alpha+\beta\pm\gamma=90^\circ$ 故 β 之值取決於 α 及 γ （式中正前角時 γ 取正量，負前角時 γ 取負量）。

在切削平面中測量出的角度（圖4r）：

刃傾角 λ : 主切削刃與基面間之夾角。當刀尖是主切削刃上最低一點時， λ 為正值。當刀尖是主切削刃上最高一點時， λ 為負值。

λ 角的作用是控制切屑流出的方向（如圖4d）及增加刀刃的強度，如在粗加工時應取正 λ 以使刀刃增強，而精加工時宜取負 λ 以使切屑流出時不致碰傷已加工表面。一般 $\lambda=-3^\circ \sim +10^\circ$ 。

2. 刀具材料

正確選用現有刀具材料及發現新的刀具材料對提高勞動生產率的作用是很大的。作為刀具切削部分的材料應該滿足下列要求：

1. 刀具材料之硬度必須大於工件材料的硬度，否則將無法由工件上切下切屑。
2. 必須具有高度的耐磨性。
3. 必須具有足夠的強度，韌性，以承受切削力和衝擊。

* 註(1) ρ 表示刀刃圓角半徑。

4. 必須具有高度的耐热性，所謂耐热性，即在高温中仍能保持以上三种性能的性质。

現在常用的刀具材料如下：

1. 碳素工具鋼：含碳量 $0.75\sim1.5\%$ ，淬火后硬度可达 $R_c=61\sim65$ ，其优点为价廉，刀刃可以磨得尖銳；缺点是耐热性低，在 $200\sim250^\circ C$ 时就丧失其切削性能，一般只用來制造切削速度不大的手用刀具如鉗工用的手絲錐，鉸刀和銼刀等。常用牌号有：
*T10H (Y10A)；T12H (Y12A)。

2. 合金工具鋼：含碳量 $0.9\sim1.1\%$ ，它与碳素工具鋼的区别是还含有鉻，鎢及其它合金元素，或增加了矽或錳的含量，以提高其切削性能。淬火后硬度与碳素工具鋼同，其优点为热处理时變形很小，不易生裂紋，且耐热性可达 $350\sim400^\circ C$ ，切削速度比碳素工具鋼略可提高20%。一般用以制造細長，或断面較大，刃形复雜的刀具，如拉刀、鉆头、鉸刀、絲錐及板牙等。常用牌号有：9H(T) (9XC) 鉻矽鋼；HMX(XBT) 鉻錳鋼。

3. 高速鋼：合金鋼中含有鉻和鎢特別多者称为高速鋼。其中含W約 $9\sim20\%$ ；Cr約 $3\sim5\%$ ，故切削性能大大提高，在淬火及回火后硬度为 $R_c=62\sim65$ ，其优点是耐热性提高至 $500\sim600^\circ C$ 之高温，故切削速度較碳素工具鋼高 $2\sim3$ 倍，且热处理时變形也比碳素工具鋼小（但不及9H(T) 及 HMX(XBT)）所以高速鋼为目前最主要刀具材料之一。它可用來制造形状复雜的重要刀具，如成形車刀，齒輪刀具及拉刀等。常用牌号有：M9 (P9)；M18 (P18)。M9含鎢比M18少而切削性能並不亞于M18，但因含釷較多不易磨出光潔的表面，为了節省鎢只有外形必須磨制的刀具才用M18來制造。

4. 硬質合金：它是用鎢、鈦、鉆和碳的粉末在 $1500\sim1550^\circ C$ 燒結而成，其硬度达 $R_A=87\sim91$ ，其耐热性提高到 $850\sim1000^\circ C$ ，因此切削速度可比高速鋼刀具提高 $4\sim10$ 倍，常用硬質合金分兩类：

a) 鎢鉆类 (BK)：它是由碳化鎢 (WC) 和碳化鎢在鉆中的固溶体所組成，WC是具有高硬度和耐热性的材料，而Co只起粘結剂的作用，故含Co多时合金的硬度及耐热性也降低。

b) 鎢鈦鉆类 (TK)：合金中除含鎢，鉆外还含有鈦的成分，因此合金之組成为 $WC+TiC+Co$ ，加Ti入后使合金与鋼的熔接温度提高，并使摩擦系数降低，因而提高了合金的耐热性。

总的說來，BK类韧性好，但耐热性及与鋼熔接的温度低，故不宜用于切削鋼，而用于切鑄鐵。TK类性脆怕冲击，但耐热性高，与鋼熔接温度高，故宜用于切削鋼。

常用硬質合金的牌号及化学成分如下表所示；

不論TK或BK类，凡合金中含鉆多的，均用于粗車，而含鎢或鈦多的切削速度可以高些，故用于半精車或精車。

5. 非金属材料：这是一种新型的刀具材料，在苏联發明了用燒結鋼玉（主要成分是 Al_2O_3 ）來做刀具切削部分的材料。它的硬度为 $R_A=86\sim96$ ，能耐 $1,200^\circ C$ 的高温，这种刀具材料所制的刀又名磁刀。現在磁刀的切削速度可增加到高速鋼的15倍，而它的

* 註 (2) 括號外的為中國牌號，括號內為蘇聯牌號。

牌号	碳化鎢 WC	碳化鈦 TiC	鈷 CO
BK ₈	92	—	8
BK ₆	94	—	6
BK ₃	97	—	3
T ₅ K ₁₀	85	5	10
T ₁₅ K ₆	79	15	6
T ₃₀ K ₄	66	30	4

价格却比硬质合金便宜15倍。磁刀的缺点是：①韧性差，怕冲击。②抗弯强度低。故目前局限用于精车及半精车。我国的陶瓷业有悠久的历史，1954年中科院陶瓷冶金研究所试制成功了瓷刀（即烧结钢玉），瓷刀的价格仅为硬质合金的五十分之一，但它还存在着性脆，导热系数小，摩擦大等缺点而使刀具使用时间不长，这些问题的解决有待于进一步的研究。

§ 3 切削的形成过程，切屑的种类及切削过程中伴生的物理现象

根据理论与实验证实：塑性金属的切削过程相当于金属的挤压过程。因此金属在切削过程中产生变形和断裂，这种变形和断裂影响着机床动力的消耗和加工工件表面质量，因此需要加以研究。兹叙述如下：

(一) 切屑的形成过程：如图5示，塑性金属变为切屑的过程，大致分为四个阶段：

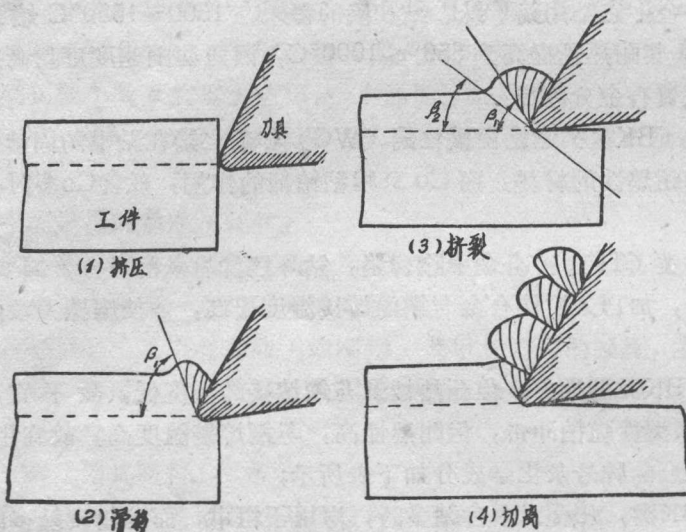


圖 5 金屬切削的大概過程

(1) 挤压：刀具与工件接触时，工件接触处受到压力，工件上局部材料发生弹性变形。

(2) 滑移：当刀具继续前进时，被加工材料内部应力不断增加，当应力达屈服点后，金属晶格彼此间沿着一定的结晶面和一定的方向产生相对移动，称为滑移。滑移已

属于塑性变形范围，滑移后在切屑上出现滑移线，滑移线的方位以滑移角 β_1 表示，滑移线只能说明金属产生了塑性变形，但并无裂纹。

(3) 挤裂：当刀具再继续前进时，被加工材料内部应力不断增加，当应力达到断裂点时，金属就在某一面上产生裂痕，称为挤裂线，它的位置以挤裂角 β_2 表示。

$$\beta_2 = 23^\circ \sim 45^\circ$$

(4) 切离：当刀具再往前走时，被挤裂的这块金属与工件表面分离，并渐渐脱离前倾面滑出而形成切屑。这块切屑的变形到此终止，这个过程称为切离。刀具再继续前进开始接触新的金属而由挤压开始重复上述过程。

必需指出上述四阶段实际上是连续进行的，中间并无间歇。上述四阶段不是在加工各种材料时都会产生的，如加工脆性材料灰口铸铁时，2，3两个阶段几乎不存在。由于切屑形成过程不同，机床动力消耗、工作条件、工件表面质量等均不同，而且切下的切屑也不同。因此在一般情况下往往可由切屑外形推断、比较机床动力消耗及工件表面质量。

(二) 切屑的种类：由于加工材料的性质、刀具的几何形状及切削用量不同，使切下切屑的外形也不同，通常将它分为三类：如图6示。

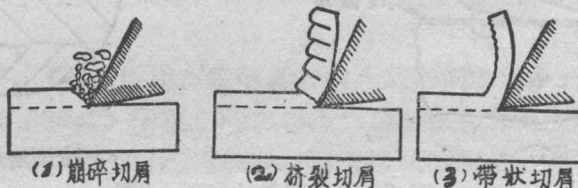


圖 6 切屑種類

1. 崩碎切屑：用大前角刀具在低速下切削脆性金属（如灰口铸铁）时得。它的外形是大小不均且互相分离的细粒及粉末。

2. 挤裂切屑：在用低速，大走刀量，小前角切削中等硬度的钢时得。切屑在靠刀的一面很光滑，反面有明显的裂缝，得到的切屑是一节一节的短条。它的形成过程经历了四个阶段因此变形最大，发热也最多。

3. 带状切屑：当用高的切削速度，小走刀量及大前角切削很韧的金属（如软钢时），切屑就成带状由前倾面流出。切屑上靠刀具前倾面的面很光滑，反面呈毛茸状，但看不出裂纹或关节。

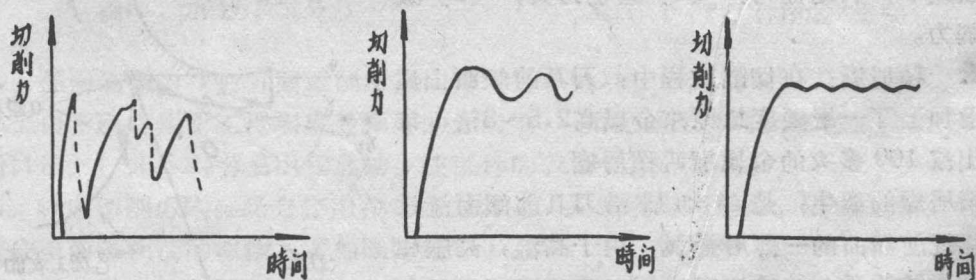


圖 7 不同種類切屑的切削力變化示意圖

当得到不同种类切屑时，切削力的變化情况如圖7示。由圖中清楚的看出崩碎切屑切削力變化最大，帶狀切屑切削力變化最小。在一般情况下挤裂切屑切削力最大，崩碎切屑切削力較小，故得到挤裂切屑时，机床动力消耗較大。崩碎切屑切削力与切削热均集中于刀尖处，且切削力變化大，因此有震动；又由于切屑与加工表面的崩裂面是極不規則的，所以工件表面光潔度低。挤裂切屑比崩碎好些但仍有振动，帶狀切屑无振动，工件加工表面光潔度高。

一般最希望得到帶狀切屑，有时可以通过調整刀具的几何形状及切削用量实现。但帶狀切屑連綿不断，可能纏住工件或割伤工人，因此必需設法折断它。

(三) 切削过程中伴生的物理現象：

切削过程中伴生的物理現象对工件表面質量及切削过程均有影響，因此值得注意。

1. 已加工表面的冷硬現象：在切削过程中，不單是切屑產生變形，而且工件上受

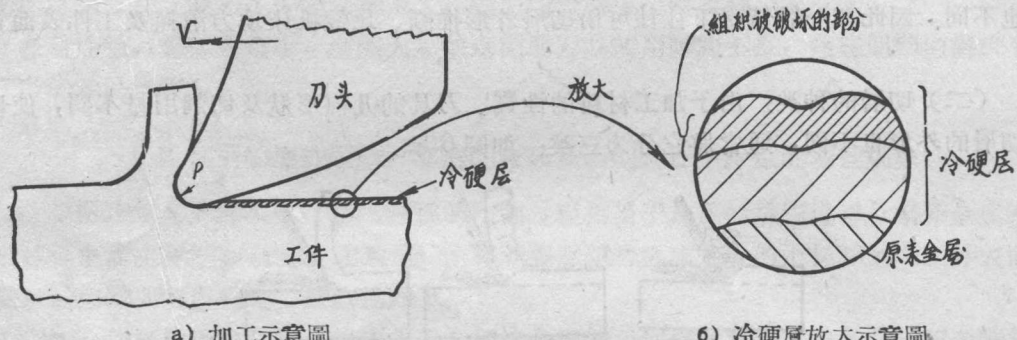


圖 8 冷硬現象的產生

切削力作用的部分也產生變形，又由于刀尖並非理想的尖銳，故一部分金属被刀刃圓弧部分的下方挤压而过，使金属受到压力及摩擦力，受过压力及摩擦的表面，当刀尖越过後又受到張应力。这部分金属經過这种塑性變形后，產生變形部分的硬度及强度都增高，如圖8示，这層高硬度的金属叫冷硬層。冷硬現象最大是已加工表面的表層，它在較大的压力，摩擦力和溫度的作用下，金相組織已發生變化和損壞。冷硬層性硬而脆，且有內应力，一般表皮都被擦伤，出現小裂縫，因此冷硬后工件的疲劳强度会下降。若工件还要經下一道工序繼續加工时，冷硬層使下一道工序的加工裕量增加。因此冷硬現象是不好的，應設法減小，其途徑为：(1) 磨銳刀具，(2) 減小切削力。

2. 積屑瘤：在切削过程中，刀具前傾面上產生（增加）了一層硬度比原來金属高2.5~3倍，每秒鐘出沒100多次的金属層叫積屑瘤。

積屑瘤的產生，是当切屑沿刀具前傾面流过时，靠近前傾面的一薄層金属，由于高温，高压和摩擦阻力的关系，流动速度很低，称为滯流，又在一定的压力，溫度和其它条件下，滯流層与切屑内

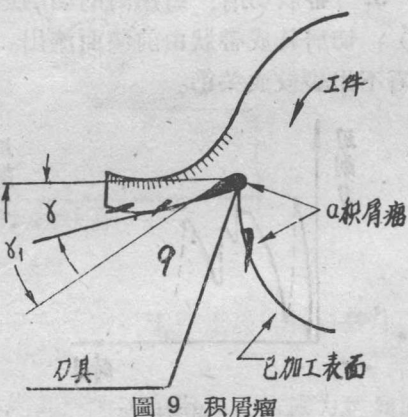


圖 9 積屑瘤

部的摩擦力小于滯流層与前傾面的摩擦力，因此滯流層就脫离切屑而粘附在前傾面上，这就形成了積屑瘤。由于切屑不斷流过，積屑瘤也不断的長大，当長大至某高度时由于所受力增大而从前傾面脫落，一部分附着于工件表面上，另一部分被切屑帶走。積屑瘤有保护刀尖減少磨損的作用，并且它使前角增大（如圖9中 $\gamma_t > \gamma$ ）減少机床动力消耗。它的缺点是损坏了已加工表面質量，这对精加工是有害的。应設法利用它有利的一面而避免有害的一面。粗加工时希望它產生，可以保护刀尖及減少动力消耗，而精加工时对表面質量要求高，故不希望它產生。

研究指出：速度低，前角大故溫度低不会產生積屑瘤，反之当速度高，前角小溫度很高也不会產生積屑瘤，而在上述二情況之間就会產生。当然我們應該采用提高速度的方法來避免積屑瘤產生，以免降低生產率。

§ 4 切 削 力

这里所指的切削力是使金属產生變形、切離及克服刀具前傾面和后隙面上摩擦的力。上述各力的方向和大小都是很不一致的，但无论如何可將其綜合得到一合力 P 。如圖10示。我們探討切削力的目的是在於確定切削力对零件加工精確度，机床动力消耗，机床及刀具的强度及磨損的关系等，而合力 P 不能滿足这些要求，故一般均將 P 分成下列三个分力：

1. 垂直分力 P_z : P_z 是作用在主运动方向上的切削力，故最大，因此称为主切削力。車削时动力主要（99%）消耗于 P_z 力所作之功。在計算机床的动力消耗，机床剛度，刀桿和刀片强度时，必需以 P_z 为根据。在選擇切削用量計算机床扭矩时也要按 P_z 来計算。

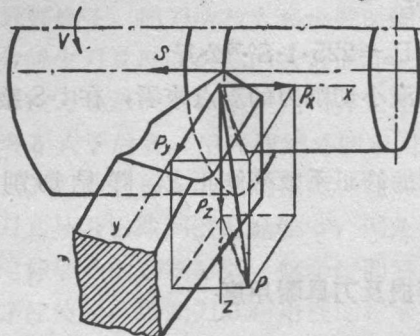
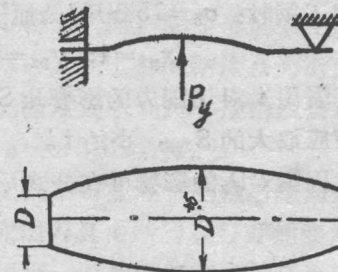


圖10 切削力及其分力



a) P_y 使工件彎曲的示意圖
6) 加工后得到雨狀工件

圖11 P_y 對工件精度的影響

2. 徑向切削力 P_y : 外圓車削时徑向力 P_y 并不做功，因为切削时刀具不沿吃刀方向移动。但由于 P_y 作用于工件剛度最不好的方向上，因此使工件弯曲影响工件的精確度（如圖11示），此外 P_y 容易引起震动，使工件的表面光潔度變坏。

3. 軸向切削力 P_x : 此力作用在走刀方向上，故又名走刀抗力。 P_x 最后傳到溜板箱中与床身上齒條相接的齒輪上（如圖30第44）。

因此在設計走刀機構强度时，必需知道 P_x 之值。 P_x 也消耗动力，但因为刀具沿走刀方向的速度比工件主运动速度小得多，所以 P_x 所消耗的动力不过 1 % 左右，一般略去不

計。

上述三力的大小，當刀具具有下列角度時： $\varphi=45^\circ$ ； $\varphi_1=10^\circ \sim 5^\circ$ ； $\gamma=20^\circ \sim 25^\circ$ 互
相間存在着下列比例關係：

$$P_z : P_y : P_x = 1 : 0.4 : 0.25 \quad P = \sqrt{P_z^2 + P_y^2 + P_x^2} = 1.1 P_z$$

由上面式子中可以看出，主切削力 P_z 差不多就等於合力 P ，因此在計算機床動力時均以 P_z 代替 P 。上面式子中所表示各力的比例，當刀具角度，切削用量改變及刀具磨鈍時，比例也就隨之改變了。這種改變有時是很有用的，如 P_y 力太大使工件的誤差超過允許量時，可使 φ 角增大些以便減小 P_y 之值，其理由如下（參看圖12）： P_N 為 P_x 及 P_y 之合力。

由圖中可看出 φ 角增大時 P_x 增大， P_y 之值減小。

由上面的敘述可知，在設計機床和決定切削用量時都需要知道切削力的大小，故下面談確定切削力的方法。

確定切削力數值的方法：（1）切削力可以用測力儀來測量。（2）可以用經驗公式來計算。切削力的大小受很多因素的影響，如工件材料的強度大、切削深度和走刀量大、前角、後角及切削速度小時比與上述情況相反時的切削力大。但對切削力影響最大的是被加工工件的材料、切削深度 t 和走刀量 S 。一般 P_z 之值可用下式計算出來：

$$P_z = C_{pz} t^{x_{pz}} \cdot S^{y_{pz}} \cdot \text{公斤}$$

式中： C_{pz} ——與工件材料強度及加工方法有關的常數。

x_{pz} 及 y_{pz} ——與工件材料強度及加工方法有關的指數。

如加工鋼時： $\sigma_b = 75$ 公斤/公厘²， $C_{pz} = 225$ 。

$$x_{pz} = 1; y_{pz} = 0.75。故 P_z = 225 \cdot t \cdot S^{0.75} \text{ 公斤}$$

上式中可看出 t 對切削力的影響比 S 大，故從減小切削力的觀點來看，在 $t \cdot S$ 乘積不變的情況下應取大的 S ，小的 t 。

其它因素對 P_z 的影響可在公式後面乘適當的修正系數來修正之。詳見切削用量手冊。

§ 5 切削熱，刀具磨損及刀具耐用度

（一）切削熱：

切削金屬時99.5%的功均轉變為熱能，切削時所做的功為：1)彈性變形功（極小）2)塑性變形功，3)刀具前傾面與切屑摩擦功及後隙面與工件摩擦所耗之功。當切削塑性材料時，如切削速度不高，則切削熱的來源主要是塑性變形所耗之功，約占6/7；但切削速度高時，塑性變形減少，切削熱主要來源為摩擦所消耗的功。

切削熱由切屑、刀具、工件和空氣傳出，圖13為用高速鋼車刀切削鋼料時切削熱傳出的情況。由刀具上傳出的切削熱是最值得注意的，若刀具溫度太高時會降低刀具的硬度和耐磨性甚至使刀具失去切削的能力。因此應設法減少刀具上的熱量。辦法有下面幾種：（1）減小 V 、 t 及 S ，此法必然降低生產率，故不好；（2）使用潤滑液以減少摩

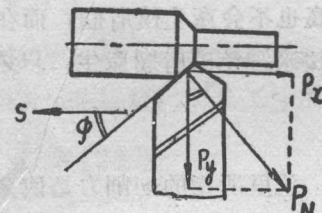


圖12 φ 角對 P_y 與 P_x 之影響

擦；（3）使用冷却液把热量带走，一般冷却和潤滑液在一起使用的。为了不断的提高 $V \cdot t$ 及 S 以提高生產率，应不断發現耐热性高的刀具材料。

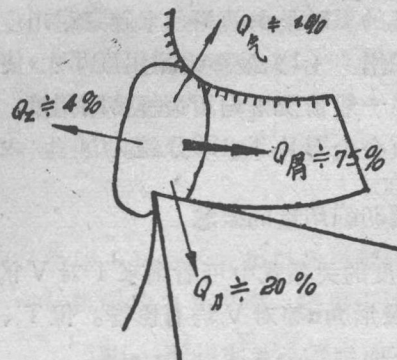


圖13 切削熱傳出情況

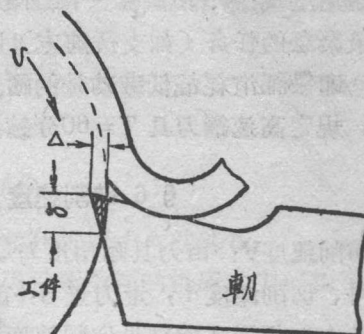


圖14 刀具磨損

（二）刀具磨損：刀具使用一定時間后由于下述原因为被磨損；1)機械摩擦，由于產生摩擦的表面高低不平，互相咬合处在磨損初期被磨平后，磨損的現象就減小。2)熱磨損，切削时產生高温，使刀具材料的金相組織產生變化，硬度降低而被磨損。在極大數情况下，热磨損是刀具磨損的主要原因。圖14为刀具磨損时的情况，刀具磨鈍后造成了下列不良后果：（1）影響加工精度，如圖中刀具开始工作时与磨損了 Δ 时所車出工件外圓直徑之差为 2Δ ；（2）增加动力消耗，刀鈍后切削力增大使动力消耗增加；（3）降低了工件的表面光潔度，刀鈍后刀具后隙面与工件的接触面增大，易生震动而降低了光潔度。因此应規定一个刀具磨鈍的数值，用 δ 表示，叫磨鈍标准。当刀具磨損至 δ 时就把刀換下來磨好刃再使用。 δ 的数值不应太小，不然刃磨好的刀剛裝上去使用不久就磨鈍至 δ 只好換下，換刀次数太多浪費时间，但当 δ 取得太大时，除了可能產生前述的缺点外，会減少刀具可能刃磨的次数而降低刀具使用寿命。当工件的精度及光潔度要求不高时，应按刀具最大寿命來規定 δ ，当工件精度及光潔度要求高时应按精度要求來規定 δ ，前者 δ 大于后者。用高速鋼外圓車刀車鋼料时 $\delta = 0.3 \sim 2$ 公厘。

（三）刀具磨損与刀具耐用度：在实际生產中工人不可能經常測量后隙面的磨損量來觀察刀具是否已鈍到磨鈍标准 δ ，因此必須先研究出刀具由新刃磨好开始使用起到磨損至磨鈍标准止的切削时间，这个时间叫做刀具耐用度。刀具磨鈍至磨鈍标准應該重新刃磨后才能使用，因此刀具耐用度即指兩次磨刀間刀具工作的时间，以 T 表示之，單位为分鐘。影響刀具耐用度的因素很多，但以切削速度影響最大。

（四）刀具耐用度 T 与切削速度 V 的关系：根据研究的結果它們之間存在下述关系：

$$V = \frac{A}{T^m}$$

A ——与工件及刀具材料切削深度，走刀量等有关之常数。

m ——与工件，刀具材料及加工方法有关的指数 $= 0.1 \sim 0.9$ 间。 m 数值越小表示 V 对 T 的影響越大。硬質合金的 m 比高速鋼刀具的大。 T 取多大最合适呢？ T 取大时，可以增加刀具的使用时间，但由上式中看出 V 必然要小而使生產率降低。当 T 取得小时，

速度可以高些似乎生產率可以提高，但是 T 太小換刀時間必然增多，這樣生產率也會降低。因此應該科學的來決定 T 的數值。實際上有兩種決定刀具耐用度的方法：(1) 最大生產率耐用度 T_o ：即依製造一個工件所消耗的工時最少的原則來確定耐用度數值，只有在完成最緊急的任務（如支援前方）時才採用。（2）最經濟耐用度 T ：使工件工序成本最低，即保證消耗最低勞動量的耐用度。一般情況下均用最經濟耐用度，根據研究計算結果，規定高速鋼刀具 $T=60$ 分鐘，硬質合金刀具 $T=90$ 分鐘。

§ 6 切削速度及選擇切削用量的概念

1. 切削速度 V ：由刀具耐用度與切削速度的關係式中可看出來 T 對 V 的影響。此外工件材料、切削深度 t 、走刀量 S 、前角 γ 及後角 α 等對 V 均有影響。但 T 、 S 及 t 對 V 的影響較大。根據實驗結果切削速度可用下面經驗公式來計算：

$$V = \frac{C_v'}{T^m \cdot S^{y_v} \cdot t^{x_v}} \text{ 可寫成 } T^m = \frac{C_v'}{V \cdot S^{y_v} \cdot t^{x_v}} \dots\dots\dots (1)$$

式中： C_v' ——與加工材料有關之常數；

x_v 及 y_v ——與加工材料有關之指數。

由實驗知 $1 > y_v > x_v$ ，即 t 對切削速度的影響比 S 小。其它因素對 V 的影響可用適當修正系數修正之。

在車削碳素鋼 $\sigma_b = 75$ 公斤/公厘²； $T = 60$ 分， $S \leq 0.25$ 公厘/轉時。

$$V = \frac{49.9}{t^{0.25} \cdot S^{0.33}} \text{ 公尺/分} \dots\dots\dots (2)$$

當工件材料強度及刀具耐用度改變時式中的常數也要改變，當 σ_b 增且 T 取大時切削速度就相對地減小。若 t 及 S 為已知，用式(2)就可計算出在保證 $T=60$ 分的情況下應該取多大的 V 了。

2. 選擇切削用量的概念：合理的選擇切削用量可以充分的發揮機床和刀具的效能，使消耗工時最少，成本最低。簡而言之就是使單位時間內切下的切屑最多，即 $V \cdot S \cdot t$ 的乘積最大。由式(1)中可看出當工件材料及刀具耐用度取定之後 $V \cdot S^{y_v} \cdot t^{x_v}$ 之乘積也就被限制住了，因此應設法在 $V \cdot S^{y_v} \cdot t^{x_v}$ 之乘積不能增大的情況下，適當的選擇 t 、 S 及 V 使 $V \cdot S \cdot t$ 之積為最大。實際上 t 、 S 及 V 間存在着(1)式之關係，故欲增大三者中之一，就必需減少其餘兩個。例如 t 取大時， S 及 V 必需減小才能保持正常的刀具耐用度，若 V 取大時， t 及 S 必需減小。值得注意的是上述兩種情況下 $V \cdot S^{y_v} \cdot t^{x_v}$ 之乘積均相等，但 $V \cdot S \cdot t$ 的乘積却不同。因此三者之中究竟哪一個應最先盡量取最大呢，需加以進一步分析。由實驗知 $1 > y_v > x_v$ ，這表示 t 對耐用度影響最小，即當增大 t 的數值時 S 及 V 不必減小多少就能保證 T 不變，因此當如上述切削用量的提高受刀具耐用度 T 的限制時，應當先取大的 t ，其次取大的 S ，最後在保證一定 T 的情況下用與(2)相當的公式算出 V 來。

選擇切削用量的步驟如下：

(1) 選擇刀具：按工件材料、機床動力及機床的性能等決定刀具材料，刀桿尺寸及刀具切削部分的幾何形狀。

- (2) 決定切削深度 t : t 可取為等於工件的工序加工裕量 h 。
- (3) 選擇走刀量 S : t 既決定後, S 应尽量取大些。(因为它對 T 的影響比 V 小)。但是當 t 已定後 S 直接影響切削力的大小, 因此 S 应按刀具強度, 机床走刀機構強度, 工件剛度及工件表面光潔度等來綜合考慮計算決定之。
- (4) 決定切削速度 V 及轉速 n : t 及 S 选定後, 可用與 (2) 式相當的公式求出切削速度 V , 並可用下式求出轉速來:

$$n = \frac{1000V}{\pi D} \text{ 轉/分}$$

求出的 n 应按機牀上具备的 n 加以適當調整, 以免在機牀上無法實現。

- (5) 校驗機牀動力及力矩: 采用上述切削用量所消耗的機牀動力可用下式算出:

$$N_{\text{切}} = \frac{P_z \cdot V}{60 \times 75 \times 1.36} \text{ 仟瓦} \quad (3)$$

$N_{\text{切}}$ 應該小於或等於車牀主電動機的有效動力 $N_{\text{電}}$, 即:

$$N_{\text{切}} \leq N_{\text{電}} \cdot \eta$$

η ——示電動機及機牀的總有效系數。

若 $N_{\text{切}} > N_{\text{切}} \cdot \eta$ 時, 應設法減少式 (3) 中之 P_z 或 V , 由求 P_z 的公式中知 S 對 P_z 的影響比 t 小, 故當受機牀動力限制而重選切削用量時應先選最大的 S , 其次再選 t 及 V 。但重選太繁, 因此一般仍用原來之 t 及 S , 而將 $N_{\text{電}} \cdot \eta$ 代替 (3) 式中的 $N_{\text{切}}$, 用式 (3) 改算切削速度。

除了校驗動力外還要校驗主軸在某轉速下所能承受的力矩, 實際上也就是校驗主運動系統中的機件(齒輪)強度, 若切削力矩 $M_{\text{切}}$ 大於該轉速下齒輪所能承受的力矩 $M_{\text{軸}}$ 時, 就會損壞齒輪, 即希望:

$$M_{\text{切}} = P_z \cdot \frac{D}{2} \leq M_{\text{軸}}$$

D ——工件外圓直徑(公厘)。

若 $M_{\text{切}} > M_{\text{軸}}$ 時, 應減少 V 和 S 。 $M_{\text{軸}}$ 的數值可由機牀說明書中查出。 M 之單位以公斤——公厘表示之。

(6) 計算基本工時: 決定了 t , S 及 V 後, 應計算出基本工時 $T_{\text{基}}$, 因為 $T_{\text{基}}$ 是衡量切削用量選擇是否合理的標準。 $T_{\text{基}}$ 系指直接花費在切削過程上的時間, 可用下式計算, 參看圖 15。

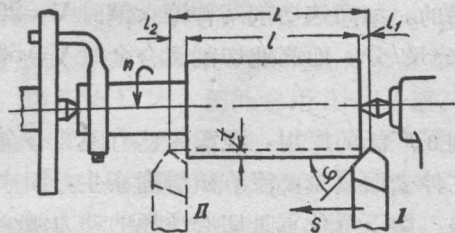


圖 15 車外圓計算工時簡圖

$$T_{\text{基}} = \frac{L}{S \cdot n} \cdot \frac{h}{t} \text{ 分} \quad (4)$$